DNAコンピューティングの原理と展開



小 倉 裕 介*

Principle and development of DNA computing

Key Words: DNA computing, nanomachine, automaton, nanoscale, optical manipulation

1 はじめに

生物は DNA に記録された遺伝的情報をさまざま な生化学反応を駆使して巧みに処理し , その生命活 動を維持している. つまり, 生体は多様な物質で構 成された物理システムであると同時に、極めて有能 な情報システムとしてとらえることができる.では, 生体の情報処理能力をうまく利用して何かできない か?分子コンピューティング研究の原点はそこにあ り,分子レベルの物質や現象に潜む優れた情報処理 能力を見出し、それを有効活用して情報技術、ファ ブリケーション,計測などにおける新しい機能やシ ステムの創出をめざしている.分子が計算するとい う考え方は,自然界における分子系のふるまいを情 報処理に対応づけると理解できる. 例えば, DNA の情報を転写して生成される RNA は遺伝情報の担 体としての役割を担うだけでなく,別のRNAを特 異的に認識して遺伝子の発現を制御することもでき る. つまり RNA は認識・制御機能を備えた情報処 理装置としても働いている.また,タンパク質は多 数のアミノ酸が重合した高分子であるが, エネルギ が最小となる特定の構造に分子が折りたたまれて はじめて機能する.この折りたたみプロセスでは, 局所解となる別構造を避けて目標構造に素早く到達 する一種の最適化問題が解かれている.

分子の中でも DNA の性質を利用したものを特に



*Yusuke OGURA 1974年12月生 大阪大学大学院工学研究科物質・生命工 学専攻 博士後期課程退学(2002年) 現在、大阪大学 大学院情報科学研究科 情報数理学専攻 准教授 博士(工学) 情報フォトニクス

TEL: 06-6879-7849 FAX: 06-6879-7295

E-mail: ogura@ist.osaka-u.ac.jp

DNA コンピューティングとよんでいる. DNA が持つ計算能力を見抜き最初に実証したのは, RSA 暗号の発明者の一人としても有名な L. Adleman である [1]. 彼は 1994 年に NP 完全問題の一つであるハミルトン経路問題を DNA を使って解いた. 扱った問題自体は手計算でも短時間で解けるものであったが,実際に DNA で計算し,正しい解を得た点で意義は大きい.

DNAによる計算は並列に行なわれる.例えば,濃度 1 μ M の DNA 溶液 1 μ l の中には 6 \times 10 11 個もの DNA が含まれており,各 DNA に情報を符号化すれば並列計算が可能となる.ただし,計算速度の観点から現代の電子コンピュータを凌駕するためには,莫大な量の DNA とそれらを正確に制御する技術が求められるため,現実的ではない.むしろDNA の利用により,生体をはじめとする分子系の中で情報を直接取得し,その場で処理し,その結果に応じて作用を決定できることが大きな利点である.本稿では,DNA コンピューティングの原理,ナノテクノロジーや情報技術への適用,光を利用したDNA コンピューティングへの展開について解説する.

2 DNA 反応と計算

DNA は,アデニン(A), グアニン(G), シトシン(C), チミン(T)の四種類の塩基が連なった鎖状分子であり,一方を5 沫端,他方を3 沫端と呼ぶ.また,Watson-Crick 相補性から,AはT, GはCとのみ水素結合を形成し塩基対を作る.したがって,二種類の一本鎖 DNA の塩基配列が(方向も含めて)相補的であるとき,これらは会合して二本鎖 DNAとなる.これをハイブリダイゼーション(あるいはアニーリング)とよぶ.

ここで, ハイブリダイゼーションの能力を Adleman が行なった方法を示して説明する [1]. 彼が扱

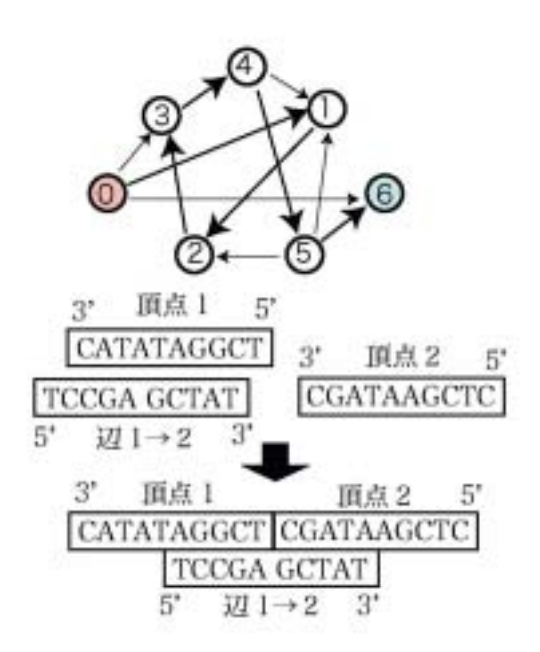


図 1: Adleman の実験における問題のグラフ(上)と 径路の生成過程(下).

った問題は、図1に示す7頂点のグラフに対して「す べての頂点を一度ずつ通って,頂点0を出発し頂点 6に到達する径路があるか?」を求めるハミルトン 径路問題である.手順は以下の通りである.(1)考 えうる全ての経路を DNA を使って表現する.(2) この中から問題の条件を満足しない DNA を削除し, 最終的に DNA が残っていれば答えは "Yes", そう でなければ "No"となる. ハイブリダイゼーショ ンは,手順(1)で利用している.まず各頂点に DNA を割り当てる.辺の DNA は,図1のように, 2つの頂点の DNA に半分ずつ結合するよう設計する. 各頂点および辺の DNA をすべて混ぜ合わせると, 辺の DNA を介して,辺の両端の頂点を表す二つの DNA が連結される、このとき、対応する頂点と辺 のみが選択的に連結することが要点となる.溶液中 ではこの操作はすべての辺に対して一括して行なわ れ,最終的に,与えられた有向辺をたどって得られ る様々な経路を表現する DNA が生成される.手順 (2) では, DNA を増幅する PCR 反応, 塩基の長さ によって DNA を分類する電気泳動,特定配列を含 む DNA を選択するための磁気ビーズによる分離法 などの確立された技術を駆使して DNA を取捨選択し, 最終的に解を得る.

経路生成の際,条件に合う DNA とだけ特異的に 二本鎖を形成する過程が決定的な役割を果たしてい る.この過程はマッチング演算に相当し,DNAに よる計算の起源となる.そしてその本質は DNA の多様性にある.例えば,20 塩基長の DNA は 4²⁰(=1 兆)通りの塩基配列が考えられ,それぞれが個別の分子として動作する.また,この特異的な結合特性に基づき, DNA は自身の反応を規定するプログラムを配列中に格納することも可能であり,単なる情報担体を超えて自律的な演算装置となることも大きな特徴である.

3 DNA ナノテクノロジーへの適用

DNAの計算能力は,例えば,ナノ構造形成やナノマシンなど DNA ナノテクノロジーへ適用できる. DNA にはタンパク質をはじめ,さまざまな分子を結合することができるため,DNA ナノ構造は分子を配置するための足場として利用できる. DNA の二重らせん構造はらせん一巻きで長さ約 3.4 nm,直径約 2.0 nm であり,分子の配置は nm オーダーの位置精度をもつ.高密度にアプタマーを配置したタンパク質チップなどへ応用されている [2] .

代表的な DNA ナノ構造作製法として DNA タイルの自己組織化が挙げられる. DNA タイルは複数の DNA 一本鎖を絡めて作った単位構造であり, 粘着末端とよばれる DNA 一本鎖部分をいくつか有している. この粘着末端は異なる DNA タイルをつなぎ合わせる接着剤の役割をもつが,もちろん,相補的な関係にある粘着末端同士しか結合しない. したがって, 粘着末端の設計によりタイルの結合関係を制御することで, 形成する構造体をプログラムできる. このとき, 粘着末端配列を符号化情報として利用すると, タイルの結合過程自体を演算とみなすこ

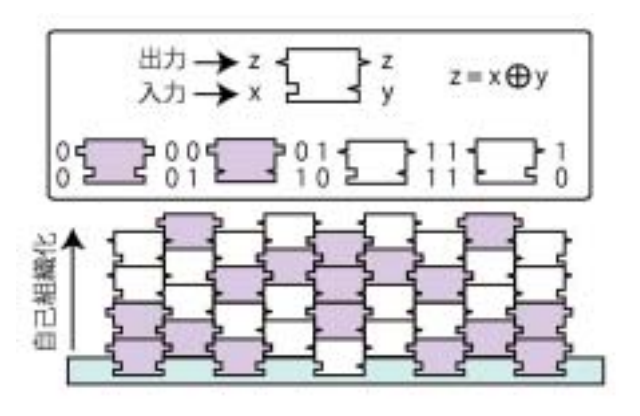


図 2: DNA タイルの自己組織化の模式図. 異なる粘着末端を 四角形と三角形の凹凸で表している. 排他的論理和の DNA タイルの入出力(上)と自己組織 化による構造(下).

とができる・例えば、図2のように排他的論理和演算を実装することが可能であり、フラクタル図形の一種であるシェルピンスキー三角形の図形を形成することができる[3]・なお、DNAタイルの自己組織化によるナノ構造体形成は、特定条件下では計算万能であることが示されている・一方、2006年にはDNAおりがみと呼ばれるナノ構造形成手法が発表された[4]・この方法では、構造の材料となる一本の長鎖DNAと多数の短鎖DNAを混合する・短鎖DNAは長鎖DNAの特定箇所をつなぐホチキスのような役目をし、長鎖DNAが折り畳まれる・どのような役目をし、長鎖DNAが折り畳まれる・どの箇所をつなぐか、すなわち、長鎖DNAをどのように折り畳むかの情報が短鎖DNA群に内蔵されており、利用する短鎖DNA群を変えることで多彩な模様が作り出される・

ナノ構造に動きをつけた DNA ナノマシンも多く 提案されている.その端緒となったのは,Yurkeらによる DNA ピンセットである [5].これは DNA で 構成された大きさ数 nm の微小なピンセットであり, 駆動の燃料となる一組の DNA を交互に投入することにより開閉動作が行なわれる.ナノマシンの物理 的構造は状態遷移マシンの内部状態に対応づけることもでき,多様なナノマシンを個別にかつ協調的に 動作させることにより,強力な情報処理能力を発揮 する.

DNA ナノマシンの駆動のタイミングや場所を制御する方策として外部信号の導入が有効である.ここでは,光駆動型の DNA ナノマシンを紹介する.光はマイクロオーダーの微小領域に集めることが可能であり,空間並列かつ局所的な駆動制御が行なえる.また,遠隔操作に基づき駆動のトリガーを与え

られる.一方で DNA の多様性を利用すれば,単一の光入力に対して複数の DNA ナノマシンによる異なる動作が実行される.

Yurke の DNA ピンセットをもとに構成した光 DNA ピンセットの動作スキームを図 3(a) に示す [6]. 本体は4本のDNAから構成されており、そのうち の1本のDNAには、光応答性分子であるアゾベン ゼンが導入されている.可視光照射によりアゾベン ゼンがトランス体になると、アゾベンゼン導入 DNA とその相補鎖 DNA は結合し二本鎖を形成す るが,紫外光照射によりシス体になると結合力が弱 まり一本鎖に解離する.この特性により光でピンセ ット構造を開閉する.FAMとBHQは蛍光共鳴工 ネルギー移動のペアであり、ピンセットが開くと蛍 光強度が高く,閉じると低くなる.光駆動型は,燃 料としての付加的な DNA が不要であり,ナノマシ ンとして自己完結している.このため,動作中に周 辺環境へ与える影響は小さく、リセットも容易であ る.図3(b)に可視光と紫外光を交互に繰り返し照 射したときの結果を示す. 照射する光に対応して開 閉動作が制御されていることがわかる.この光 DNA ピンセットは,光信号を入力とし構造を出力 とする、特定の状態遷移ルールを実現するオートマ トンとみなすことができ、他の分子コンピューティ ングデバイスと連動することでそのデバイス動作を 時空間的に制御できる.

4 情報技術への適用

DNA で計算の基本モデルであるオートマトンを 作る試みは多い.Y. Benenson らは,データ,プロ グラム,ハードウェアの役割をもった DNA や酵素

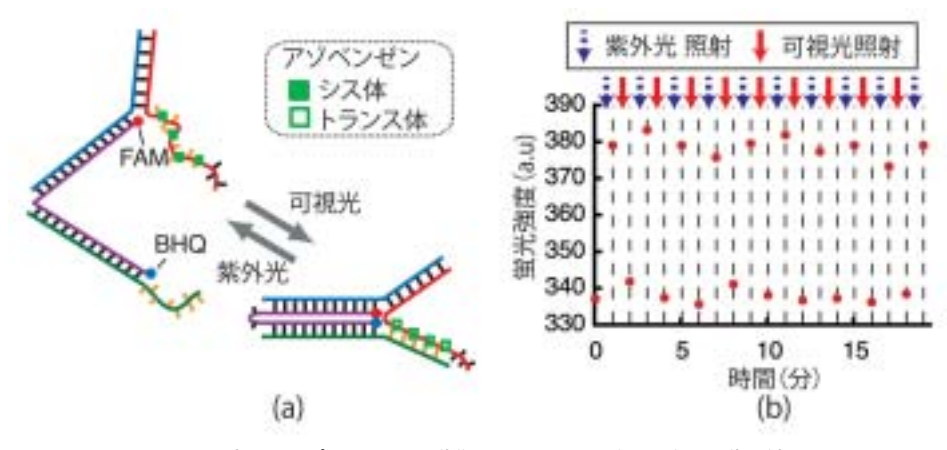


図 3: (a) 光 DNA ピンセットの動作スキーム.(b) 繰り返し駆動の結果

を用意し,有限オートマトンを実現している[7]. ヘアピン DNA と呼ばれるループ構造をもつ DNA の末端配列で内部状態を符号化し,入力一文字ごとに制限酵素反応によって末端配列を変化させて状態 遷移する.生体環境下での自律動作を特徴としており,「疾病に関わる分子をセンシングし,それらを分析し,薬剤をリリースするかどうかを判断する」ことを生体内で薬剤自身が行なうスマートドラッグへの応用が期待される.

一方,DNAのメモリとしての潜在能力も魅力的である.DNAの多様性を利用すれば,膨大な情報を高密度に記録できることは明らかである.したがって重要なことは,必要な情報を特定するアドレシングの技術である.このための一つの方法は,データ配列をDNAの中央部分に,その両側にアドレス用の配列を配置し,アドレスの相補鎖 DNAをプライマーとして PCR 増幅する方法である.例えば図4に示すように,アドレス空間を多階層化し入れ子状に PCRを行なう分子メモリが構築されている[8]・アドレスの桁を変えながら PCRを繰り返すことで約16.8Mbの容量から特定の情報の読み出しに成功している.このような分子メモリは認証情報を含むDNAを混入させたインキ(DNAインキ)等,物質と情報を強く関係づけた利用に適する.



図 4: DNA メモリ. DNA がデータ部とアドレス部で 構成される. A-F は多層化アドレスの桁を表す.

5 フォトニックナノスケールオートマトン

DNA オートマトンの構成法として,データ,ハ ードウェア,制御系のすべてをナノ領域で構築する アプローチは、ナノの物理スケールが本質的に重要 なナノプロセッサの構成法として理にかなっている. 一方で,各プロセッサの動作を大域的な視点から協 調させたり、状況に応じてプロセッサを駆動させる 場所,時間,プログラムなどを制御するために,マ クロ世界との通信機能を有する方式も有効であると 考えられる. 我々は, 内部状態を DNA 構造で表現し, それを光入力信号に従って変化させるフォトニック ナノスケールオートマトンの開発を進めている.図 5(a) にその概念を示す. 光を介して各オートマトン に信号がブロードキャストされ,その信号にしたが ってオートマトンが並列に動作する.本構成によっ ても,オートマトン本体のサイズはナノオーダーで あり,分子情報の直接アクセスや制御に適用できる.

実装は状態遷移と状態メモリの2つのブロックに分割し、これらを交互に動作させることで行う[9].状態遷移ブロックでは,光信号に対して異なった応答をするDNA反応系を用意し,現内部状態ごとにそれらを割り当てる.割り当てるDNA反応系は実装する状態遷移図によって異なるが,状態数2,入力文字数2の有限オートマトンの場合には,4つのDNA反応系により任意の状態遷移を実現できる.DNA反応系にはアゾベンゼンを結合させたヘアピンDNAを利用する.各DNA反応系では使用するヘアピンDNAの塩基配列とアゾベンゼンの結合箇所が異なっており,光信号に対して生じるDNA構造は異なる.ヘアピンのループが開いた状態を S_0 ,閉じた状態を S_1 とする.入力信号には可視光と紫外光の二種類の光を用い,それぞれ信号0と1に対

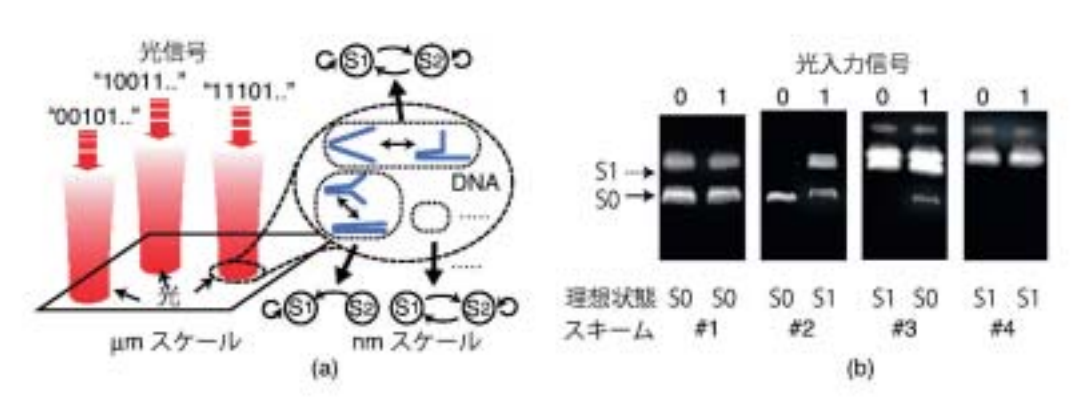


図 5: (a) フォトニックナノスケールオートマトンの概念.(b) 状態遷移実験の結果.

応させる.

図 5(b) は 4 つの DNA 反応系の実験結果である. S_0 と S_1 に対応するバンド位置を示してある.スキーム #1 と #4 では構造変化は光信号に依存しないが,スキーム #2 と #3 では光信号に依存して出力が変化している.しかも,#2 と #3 では光信号に対する応答が反対となっている.したがって,スキームの選択により光信号に対する状態遷移を設定できる.

6 液滴の光操作による DNA 論理演算

マイクロ流路を用いたバイオチップデバイスなど では,分子反応系を微小空間に閉じ込めることで, 特異的な効果を得たりスループットを向上させたり している.DNA計算において,複雑な手続きを実 行したり演算自由度をあげる手段として,計算の実 行空間を微小空間に分割し, それら微小空間内部で DNA 演算を実行することが有効である. しかもそ の微小反応空間は自由に制御できることが望ましい. この要求を満たす手法として微小液滴の利用が考え られる.液滴中では DNA は自由に動き回ることが できるため, DNA 計算として重要な特徴である自 律演算性を活かすことができる.また,液滴自体は 光マニピュレーション等で操作できる. 光マニピュ レーションは,光と物体の相互作用により生じる光 放射圧を利用した物体操作技術であり、適切な光パ ターンを生成することにより様々な操作を実行でき る.これにより,分子環境の外部からの液滴操作に 基づき、情報処理の手順を適宜再構成することがで きる.

図 6(a) に液滴を用いた DNA 演算制御の概要を示す [10].液滴には DNA 演算デバイス,入力 DNA,他の分子,あるいはこれらの混合物を内包させる.光マニピュレーションにより複数の液滴を接触させるとこれらは融合し,元々の液滴に含まれる DNA溶液が混合して反応が開始する. DNA 液滴は独立に制御できるため,異なる DNA 演算反応を複数の位置で同時実行できる.

DNAで構成した2入力1出力のAND,ORゲートを実際に動作させた.二つの入力はそれぞれ異なるDNAで符号化しており,これらのDNAが存在するときは"1"を,存在しないときは"0"を割り当てる.論理演算結果は蛍光強度として得る.図6(b)はAND演算とOR演算の各入力に対する結果

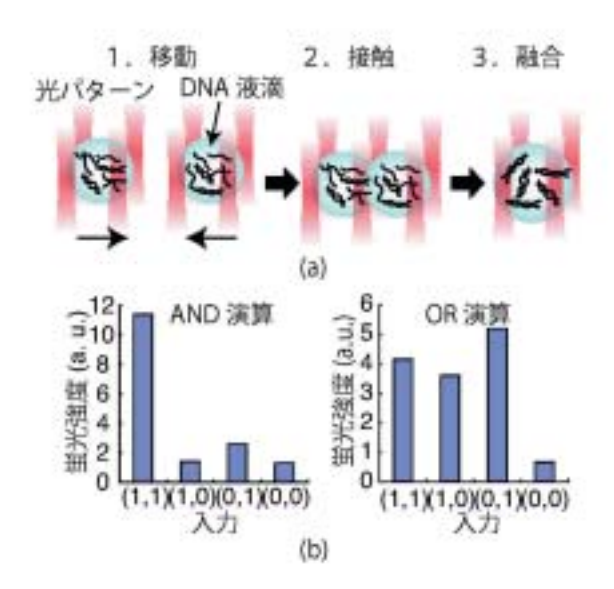


図 6: (a) 液滴の光操作による DNA 演算. (b) 各入力に対する AND, OR 演算結果.

である、液滴の光マニピュレーションにより DNA 論理演算を正しく実行している。

7 おわりに

DNAという道具を情報の視点から眺めたときに広がる世界を少しでも感じ取っていただけたであろうか、今後は、遺伝子発現をはじめとした生体計測や生体現象の可視化などのバイオ応用がますます活発になると思われる。また、ナノマシンの発展として、センサ、演算装置、アクチュエータを備えたDNAナノロボットが活躍する日も近いであろう。そのためには、これまでに蓄積したDNAコンピューティング技術をシステムの汎用的な構成要素として整備するとともに、それらを組み合わせて目的の機能を達成すると思われる。

参考文献

- [1] L. M. Adleman, Science 266, 1021 (1994).
- [2] C. Lin, E. Katilius, Y. Liu, J. Zhang, and H. Yan, Angew. Chem., **118**, 5422 (2006).
- [3] P. W. K. Rothemund, N. Papadakis, and E. Winfree, PLoS Biol., 2, 2041 (2004).
- [4] P. W. K. Rothermund, Nature, 440, 297 (2006).
- [5] B. Yurke, A. J. Turberfield, A. P. Mills, Jr, F. C. Simmel, and J. L. Neumann, Nature, 406, 605 (2000).

- [6] Y. Ogura, T. Nishimura, and J. Tanida, Appl. Phys. Exp., 2, 025004 (2009).
- [7] Y. Benenson, B. Gil, U. Ben-Dor, R. Adar and E. Shapiro, Nature 429, 423 (2004).
- [8] M. Yamamoto, S. Kashiwamura, A. Ohuchi, and M. Furukawa, Nat. Comput., 7, 335 (2008).
- [9] H. Sakai, Y. Ogura, J. Tanida, Jpn. J. Appl. Phys., 48, 09LA01 (2009).
- [10] Y. Ogura, T. Nishimura, and J. Tanida, Proc. of SPIE, 7764, 77640H (2010).

